

МАГНИТНОЕ УПОРЯДОЧЕНИЕ В МАНГАНИТАХ, ЗАМЕЩЕННЫХ ИОНАМИ ХРОМА

И. О. Троинчук, М. В. Бушинский, Д. В. Карпинский*

*Объединенный институт физики твердого тела и полупроводников Национальной академии наук Беларусь
220072, Минск, Беларусь*

Поступила в редакцию 25 апреля 2006 г.

Проведены нейтронографические и магнитные исследования двух систем твердых растворов $\text{NdMn}_{1-x}\text{Cr}_x\text{O}_3$ и $\text{Nd}_{0.6}\text{Ca}_{0.4}\text{Mn}_{1-x}\text{Cr}_x\text{O}_3$. В $\text{NdMn}_{0.5}\text{Cr}_{0.5}\text{O}_3$ выявлена магнитная структура, состоящая из антиферромагнитной *G*-типа и ферромагнитной компонент, обусловленных *3d*-ионами. Магнитные моменты ионов неодима направлены параллельно ферромагнитной компоненте. В $\text{Nd}_{0.6}\text{Ca}_{0.4}\text{Mn}_{0.5}\text{Cr}_{0.5}\text{O}_3$ выявлена магнитная структура преимущественно *G*-типа, причем магнитные моменты ионов неодима направлены перпендикулярно вектору антиферромагнетизма. Построены магнитные фазовые диаграммы обеих систем, которые интерпретируются исходя из того, что сверхобменные взаимодействия $\text{Mn}^{3+}-\text{O}-\text{Cr}^{3+}$ являются положительными, а $\text{Mn}^{4+}-\text{O}-\text{Cr}^{3+}$ — отрицательными, с учетом того, что ионы марганца и хрома не упорядочиваются в кристаллоструктурной подрешетке. Концентрационные магнитные фазовые превращения происходят через двухфазное состояние вследствие внутренней химической неоднородности твердых растворов.

PACS: 61.12.Ld, 75.47.Lx, 75.50.Dd, 75.50.Ee, 75.50.Lk

1. ВВЕДЕНИЕ

В настоящее время изучено большое количество систем манганитов, в которых ионы марганца замещены на другие *3d*- или диамагнитные ионы [1–7]. Установлено, что наиболее сильное воздействие на магнитные свойства оказывают ионы хрома, небольшие добавки которых иногда приводят к смене магнитного состояния. Из данных спектроскопических исследований следует, что ионы хрома в манганитах находятся в трехвалентном состоянии [8]. Замещение ионов марганца на хром в системах $\text{LnMn}_{1-x}\text{Cr}_x\text{O}_3$ ($\text{Ln} = \text{La}, \text{Nd}$) приводит к переходу из чисто антиферромагнитного состояния в состояние, очень близкое к ферромагнитному [6, 9–11], которое менее ярко выражено в $\text{NdMn}_{1-x}\text{Cr}_x\text{O}_3$, по-видимому, вследствие уменьшения величины угла $\text{Mn}-\text{O}-\text{Mn}$, который характеризует гибридизацию *3d*-орбиталей и, следовательно, величину обменных взаимодействий. В работе [6] на основании измерений намагниченности предложена магнитная фазовая диаграмма си-

стемы $\text{NdMn}_{1-x}\text{Cr}_x\text{O}_3$, в которой представлена последовательность переходов из антиферромагнитного состояния *A*-типа (в этом состоянии происходит ферромагнитное упорядочение магнитных моментов ионов в кристаллоструктурных плоскостях, которые связаны между собой антиферромагнитно) в ферромагнитное, потом при концентрациях $x \geq 0.4$ появляется ферримагнитное состояние и при $x \geq 0.6$ оно постепенно вытесняется антиферромагнитным состоянием *G*-типа (в этом состоянии магнитные моменты ближайших соседей направлены противоположно), присущим NdCrO_3 . Однако для подтверждения наличия ферримагнитного состояния необходимы нейтронографические исследования. Причины перехода из антиферромагнитного состояния *A*-типа в ферромагнитное являются предметом дискуссии. Существуют две точки зрения. Согласно работе [12], между ионами Mn^{3+} и Cr^{3+} магнитное взаимодействие реализуется через двойной обмен, как между ионами разновалентного марганца. Другая точка зрения предполагает, что ионы хрома приводят к снятию статических ян-теллеровских искажений, при этом сверхобменные взаимодействия $\text{Mn}^{3+}-\text{O}-\text{Mn}^{3+}$ становятся ферромагнитными [13].

*E-mail: troyan@ifftp.bas-net.by

Очень сильные изменения кристаллической и магнитной структур происходят при легировании ионами хрома зарядово-упорядоченных мanganитов [14–16]. В этом случае при добавке 3–5 % ионов хрома антиферромагнитное диэлектрическое состояние СЕ-типа переходит в металлическое ферромагнитное. При легировании другими $3d$ -ионами таких сильных изменений не наблюдалось [16]. В работе [7] предложена магнитная фазовая диаграмма твердых растворов $\text{Nd}_{0.6}\text{Ca}_{0.4}\text{Mn}_{1-x}\text{Cr}_x\text{O}_3$. Интригующей особенностью этой фазовой диаграммы является наличие кардинального изменения магнитных свойств вблизи концентрации $x = 0.5$, которое, как было предположено, обусловлено упорядочением ионов Cr^{3+} и Mn^{4+} . Для понимания свойств мanganитов, легированных ионами хрома, необходимо провести детальные нейтронографические исследования кристаллической и магнитной структур. В настоящей работе определено магнитное состояние мanganитов с 50 % замещением хрома в системах $\text{NdMn}_{1-x}\text{Cr}_x\text{O}_3$ и $\text{Nd}_{0.6}\text{Ca}_{0.4}\text{Mn}_{1-x}\text{Cr}_x\text{O}_3$ и с учетом этих данных модифицированы ранее предложенные магнитные фазовые диаграммы. По сравнению с работой [17] проведен более корректный анализ магнитной структуры состава $\text{Nd}_{0.6}\text{Ca}_{0.4}\text{Mn}_{0.5}\text{Cr}_{0.5}\text{O}_3$.

2. ЭКСПЕРИМЕНТ

Образцы твердых растворов $\text{Nd}_{0.6}\text{Ca}_{0.4}\text{Mn}_{1-x}\text{Cr}_x\text{O}_3$ и $\text{NdMn}_{1-x}\text{Cr}_x\text{O}_3$ были приготовлены методом твердофазных реакций на воздухе. Чтобы гомогенизировать химический состав, температура синтеза была выбрана достаточно высокой — 1500 °С. Скорость охлаждения составляла 50 °С/час. Рентгенофазовый анализ был выполнен на дифрактометре ДРОН-3М в CuK_α -излучении. В некоторых образцах были выявлены следы примесной фазы, содержание которой не превышало 2–3 %. Для нейтронографических исследований были выбраны два однофазных состава $\text{Nd}_{0.6}\text{Ca}_{0.4}\text{Mn}_{0.5}\text{Cr}_{0.5}\text{O}_3$ и $\text{NdMn}_{0.5}\text{Cr}_{0.5}\text{O}_3$, которые являются ключевыми для понимания свойств этих систем. Приготовленный на воздухе образец $\text{NdMn}_{0.5}\text{Cr}_{0.5}\text{O}_3$ характеризовался повышенным содержанием кислорода по сравнению со стехиометрическим значением, и поэтому образец был восстановлен в запаянной кварцевой ампуле до стехиометрического состава. Нейтронографические исследования состава $\text{Nd}_{0.6}\text{Ca}_{0.4}\text{Mn}_{0.5}\text{Cr}_{0.5}\text{O}_3$ были выполнены на дифрактометре E6 в BENSC в ин-

ституте Хайн-Мейтнер (Берлин) с использованием излучения с длиной волны 2.4422 Å от графитового монохроматора. Дифрактограммы были записаны в диапазоне 1.8–200 К в отсутствие магнитного поля. Ядерные и магнитные структуры были уточнены с помощью программы Fullprof. При $T = 1.8$ К получены дифрактограммы в магнитных полях 1, 3 и 5 Тл. Нейтронографические исследования образца $\text{NdMn}_{0.5}\text{Cr}_{0.5}\text{O}_3$ были выполнены на дифрактометре FIREPOD ($\lambda = 1.7971$ Å) в том же институте. Магнитные измерения были выполнены на MPMS SQUID-магнитометре.

3. РЕЗУЛЬТАТЫ И ОБСУЖДЕНИЕ

Согласно рентгенографическим исследованиям, образец $\text{NdMn}_{0.5}\text{Cr}_{0.5}\text{O}_3$ является орторомбически искаженным перовскитом.

Измерения температурной зависимости намагниченности были проведены в режиме нагрева после охлаждения в поле (FC) и без поля (ZFC) (рис. 1). Из графика видно, что переход в парамагнитное состояние происходит вблизи температуры 90 К. Вблизи 65 К ZFC- и FC-кривые резко расходятся, что указывает на возрастание магнитной анизотропии с понижением температуры. Из полевой зависимости намагниченности при гелиевой температуре (рис. 2) следует, что этот состав обладает достаточно большой спонтанной намагниченностью. Точно оценить ее величину не представляется возможным вслед-

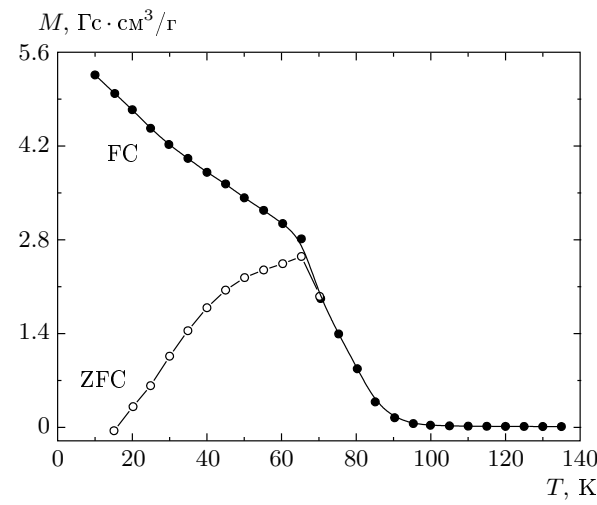


Рис. 1. ZFC- и FC-намагниченности в зависимости от температуры образца $\text{NdMn}_{0.5}\text{Cr}_{0.5}\text{O}_3$, $H = 100$ Э

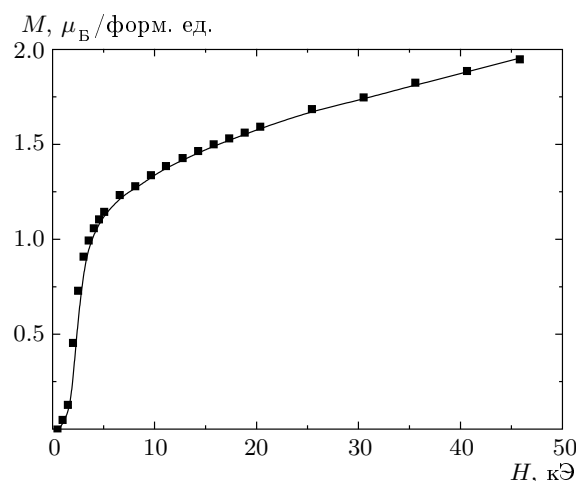


Рис. 2. Намагниченность в зависимости от поля об разца $\text{NdMn}_{0.5}\text{Cr}_{0.5}\text{O}_3$, $T = 5$ К

ствие того, что насыщения намагниченности в полях до 4.5 Тл не наблюдалось. Однако можно оценить, что ее величина составляет около $1.4\mu_B$ на формульную единицу.

Расчет кристаллической структуры этого соста- ва был проведен в пространственных группах $Pbnm$ и $P2_1/n$. Элементарная ячейка имеет искажения O' -типа, что указывает на наличие статических ян-теллеровских искажений [13]. Это обусловлено тем, что содержание ян-теллеровских ионов Mn^{3+} в этом составе около 50 %. В пространственной группе $P2_1/n$ подрешетка ионов Mn/Cr разбивается на неэквивалентные сайты, что может быть в случае упорядочения ионов марганца и хрома. Однако рас- чет в этой группе не привел к существенному улуч- шению факторов достоверности по сравнению с про- странственной группой $Pbnm$, что указывает на то, что ионы марганца и хрома не упорядочиваются. Со-гласно результатам спектроскопических исследова-ний [8], ионы хрома в мanganитах находятся в окис- лительном состоянии 3+, тогда как ионное упоря- дочение происходит, как правило, в том случае, ко- гда зарядовые состояния ионов сильно различают- ся. Рассчитанный и измеренный профили нейтронограммы представлены на рис. 3.

Кислородный октаэдр вокруг $3d$ -ионов довольно вытянут вдоль одной из осей (см. табл. 1). Этого сле- дует ожидать в случае стабилизации d_{z^2} -орбиталей ионов марганца. Углы $\text{Mn}/\text{Cr}-\text{O}-\text{Mn}/\text{Cr}$ незначи- тельно отличаются и близки к 152° , что значительно меньше, чем в щелочноземельных мanganитах лан- тана.

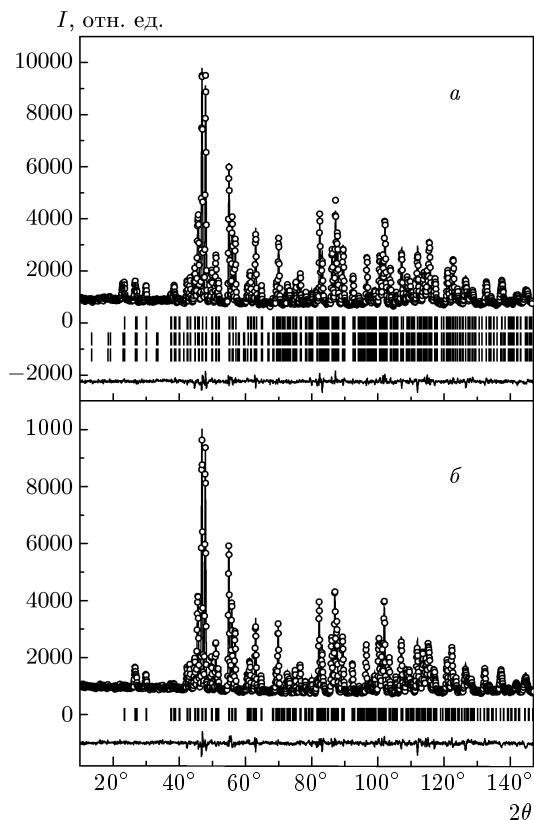


Рис. 3. Рассчитанный и измеренный профили ней- тронограммы $\text{NdMn}_{0.5}\text{Cr}_{0.5}\text{O}_3$ при $T = 4.2$ К (а) и 300 К (б). Штрихами отмечено расположение ре- флексов

Магнитный вклад наблюдался в следующих ре- флексах: (011), (101), (121), (110), (002), (020), (112) и (200). Рефлексы (110), (002), (020), (112) и (200) соотвествуют ферромагнитной компоненте, тогда как рефлексы (011), (101) и (121) указывают на антиферромагнитную структуру G -типа. Существование двух типов магнитного порядка довольно часто наблюдается в мanganитах. Это явление можно интерпретировать в рамках образования однородной неколлинеарной структуры или как проявление магнитного фазового расслоения на пространствен- ные области с разными типами магнитного поряд- ка. Поэтому расчет магнитной структуры был про- веден в различных моделях (см. табл. 1). Согласно двухфазной модели, образец состоит из антиферро- магнитной G -типа и ферромагнитной фаз, содер- жание которых приблизительно одинаково. Средний магнитный момент в ферромагнитной и антиферро- магнитной фазах составляет около $2\mu_B$, тогда как в ионной модели он должен быть больше $3\mu_B$. Мо-

Таблица 1. Параметры кристаллической и магнитной структур, полученные уточнением по методу Ритвелда для $\text{NdMn}_{0.5}\text{Cr}_{0.5}\text{O}_3$

Кристаллическая структура				
Температура	4.2 К	300 К		
Пространственная группа	$Pbnm$	$Pbnm$		
Параметры элементарной ячейки				
a , Å	5.4116(6)	5.4233(8)		
b , Å	5.5909(5)	5.5916(7)		
c , Å	7.6495(9)	7.6707(1)		
Координаты атомов				
Nd:				
x	−0.0104(3)	−0.0089(4)		
y	0.0533(3)	0.0512(3)		
O(1):				
x	0.0827(4)	0.0825(4)		
y	0.4797(4)	0.4811(4)		
O(2):				
x	0.7093(3)	0.7099(3)		
y	0.3012(3)	0.3009(3)		
z	0.0430(2)	0.0429(2)		
Длины связей				
Mn/Cr–O(1), Å	1.9674	1.9720		
Mn/Cr–O(2), Å	2.0561	2.0584		
Mn/Cr–O(2), Å	1.9542	1.9548		
Углы связей				
Mn/Cr–O(1)–Mn/Cr	152.84°	153.04°		
Mn/Cr–O(2)–Mn/Cr	151.92°	152.10°		
Факторы достоверности				
R_p , [%]/ R_{wp} , [%]	3.69/4.72	3.71/4.77		
χ^2	2.61	2.94		
R_{Bragg} , %	4.00	5.01		
Магнитная структура				
	Двухфазная модель		Неколлинеарная модель	
	1-я фаза	2-я фаза		
Процентное содержание	52 %	48 %		
Mn/Cr:				
μ_x , μ_B	—	2.000	1.250	
μ_z , μ_B	2.100	—	—	
Nd:				
μ_x , μ_B	—	0.600	0.300	
Магнитный R -фактор	8.98	15.9	13.5	

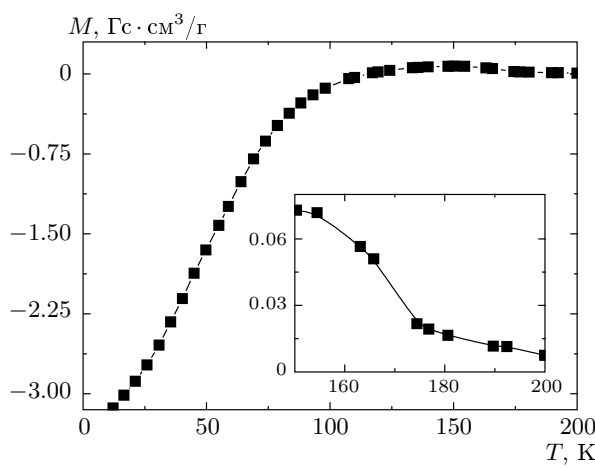


Рис. 4. FC-намагниченность в зависимости от температуры состава $\text{Nd}_{0.6}\text{Ca}_{0.4}\text{Mn}_{0.5}\text{Cr}_{0.5}\text{O}_3$ в поле $H = 200$ Э

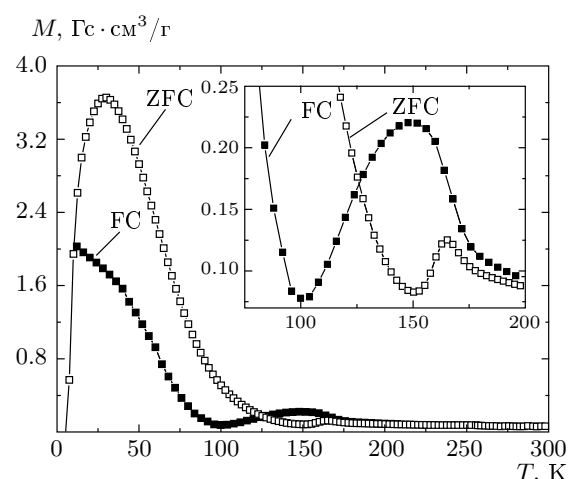


Рис. 5. ZFC- и FC-намагниченности в зависимости от температуры состава $\text{Nd}_{0.6}\text{Ca}_{0.4}\text{Mn}_{0.5}\text{Cr}_{0.5}\text{O}_3$ в поле $H = 1$ кЭ

менты ионов неодима упорядочиваются в ферромагнитной фазе параллельно моментам $3d$ -ионов, однако их магнитный момент также значительно меньше ожидаемого. В неколлинеарной модели средний магнитный момент немного больше, ферромагнитная компонента направлена перпендикулярно вектору антиферромагнетизма. Поскольку магнитные факторы достоверности сильно не различаются, трудно отдать предпочтение какой-либо модели. Величина ферромагнитной компоненты, полученная из нейтронографических измерений, довольно хорошо согласуется с результатами измерений намагниченности, согласно которым оценочная величина спонтанного магнитного момента составляет $1.2\mu_B$ на формальную единицу.

В образце $\text{Nd}_{0.6}\text{Ca}_{0.4}\text{Mn}_{0.5}\text{Cr}_{0.5}\text{O}_3$ выявлено весьма необычное поведение температурных зависимостей ZFC- и FC-намагниченостей, что указывает на сложную магнитную структуру этого соединения. FC-намагниченность, измеренная в магнитном поле 200 Э, отрицательна в интервале температур ниже 100 К (рис. 4). Резкий спад намагниченности в интервале 160–172 К обусловлен, по-видимому, переходом магнитоупорядоченного состояния в парамагнитное. Однако в поле 1 кЭ поведение FC-намагниченности радикально изменилось (рис. 5). Она стала положительной во всем интервале температур. Вблизи температуры 100 К наблюдался минимум, а при 150 К — максимум. Весьма своеобразно поведение ZFC-намагниченности, которая резко увеличивается с ростом температуры до 25 К, а затем плавно уменьшается; при

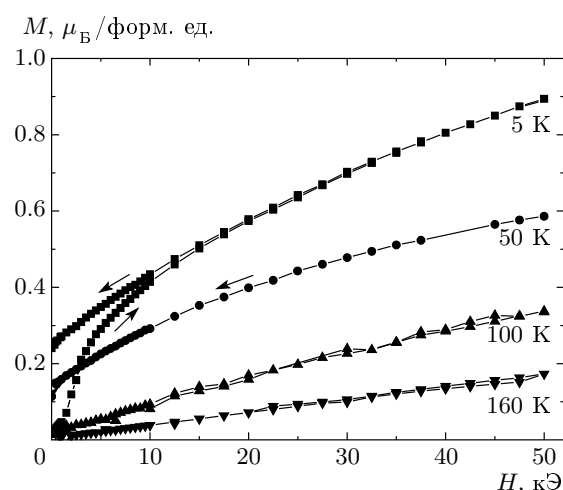


Рис. 6. Зависимости намагниченности состава $\text{Nd}_{0.6}\text{Ca}_{0.4}\text{Mn}_{0.5}\text{Cr}_{0.5}\text{O}_3$ от поля

температуре 160 К наблюдался максимум. ZFC- и FC-намагниченности начинают расходиться при температуре около 200 К, а при 165 К резкое расхождение кривых указывает на кооперативное изменение магнитного состояния. Возможно, это связано с некоторой неоднородностью химического состава, так как известно, что температура Нееля состава с 60 % хрома равна 220 К [7].

Изотермы намагниченности в зависимости от поля приведены на рис. 6. При 160 К зависимость почти линейная, остаточная намагниченность очень мала. При 100 К поведение существенно не изменя-

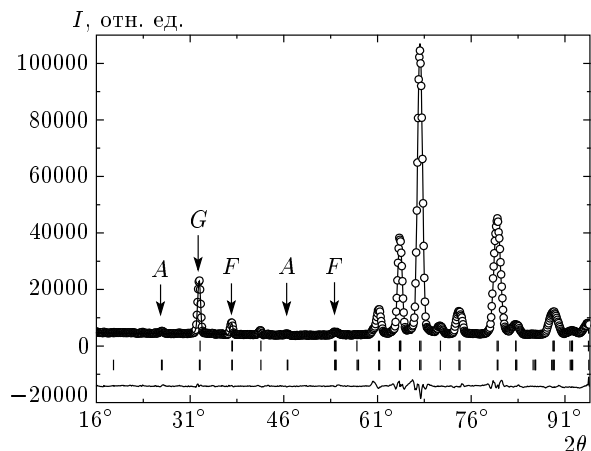


Рис. 7. Рассчитанный и измеренный профили нейтронограммы состава $\text{Nd}_{0.6}\text{Ca}_{0.4}\text{Mn}_{0.5}\text{Cr}_{0.5}\text{O}_3$ при $T = 1.8$ К. Штрихами отмечено расположение рефлексов. Буквами обозначены: F — рефлексы, соответствующие ферромагнитной компоненте, G — рефлексы, соответствующие антиферромагнитной компоненте G -типа, A — рефлексы, соответствующие антиферромагнитной компоненте A -типа

ется, однако при 50 и 5 К зависимость становится нелинейной, спонтанная намагниченность резко увеличивается и составляет не менее $0.35 \mu_B$ на формульную единицу при 5 К.

Кристаллическая структура этого соединения также уточнялась в двух пространственных группах, $Pbnm$ и $P2_1/n$, чтобы учесть возможное упорядочение ионов марганца и хрома. Однако уточнение в группе $P2_1/n$ не улучшило результаты. Это свидетельствует о том, что если упорядочение ионов и существует, то в очень малой степени и не существенно для понимания магнитных свойств. Расчетный и измеренный профили нейтронограмм представлены на рис. 7.

Результаты расчета кристаллической структуры в пространственной группе $Pbnm$ приведены в табл. 2. Кислородный октаэдр Mn/Cr-O_6 несколько искажен вдоль разных осей. Так как количество ян-теллеровских ионов Mn^{3+} очень мало, искажение скорее всего обусловлено несоответствием ионных радиусов различных ионов, т. е. размерным эффектом. Углы Mn/Cr-O-Mn/Cr увеличиваются до 157° по отношению к $\text{NdMn}_{0.5}\text{Cr}_{0.5}\text{O}_3$, в котором этот угол равен 152° , что привело к довольно высокой температуре Нееля, 165 К, вследствие увеличения ковалентной составляющей химической связи.

Магнитная структура этого соединения также уточнялась в двухфазной и неколлинеарной моде-

лях. Так как магнитные факторы достоверности и в этом случае оказались близки, обсудим результаты уточнения в неколлинеарной модели. Основной магнитный вклад наблюдался в рефлексы (011) и (101). Это указывает на образование антиферромагнитной структуры G -типа, как и в случае $\text{NdMn}_{0.5}\text{Cr}_{0.5}\text{O}_3$. Вклад в рефлексы (110), (020), (002), (112) и (200) был учтен в предположении ферромагнитной компоненты за счет Nd-подрешетки. При температуре ниже 50 К возникают слабые рефлексы (010), (100), (012) и (102), которые указывают на появление антиферромагнитной компоненты A -типа. Величины рассчитанных магнитных моментов представлены в табл. 2. Средняя величина магнитного момента в Mn/Cr-подрешетке близка к значению $2\mu_B$ на формульную единицу, что немного больше, чем в $\text{NdMn}_{0.5}\text{Cr}_{0.5}\text{O}_3$. Магнитный момент ионов Nd также близок к ожидаемому значению в манганинах [18], он составляет $1.1\mu_B$ и направлен перпендикулярно антиферромагнитным компонентам. Наложение внешнего магнитного поля приводит к изменению интенсивности магнитных рефлексов. Магнитные рефлексы, соответствующие G -типу магнитного порядка, уменьшаются по интенсивности, тогда как рефлексы (020), (112) и (200), отвечающие ферромагнитной компоненте, увеличиваются. Согласно расчетам в Mn/Cr-подрешетке появляется ферромагнитная компонента, направленная так же, как и магнитные моменты ионов неодима (вдоль оси z) за счет уменьшения компоненты G -типа. Намагниченность, измеренная с помощью магнитометра в поле 5 Тл (рис. 6), значительно меньше значения, рассчитанного из нейтронограмм. Возможно, это обусловлено большой величиной магнитной анизотропии (коэрцитивная сила при 5 К равна 2 кЭ) и спецификой $f-d$ -обмена между ионами Mn/Cr и неодима, который, судя по измерению магнитных свойств (рис. 4, 5), в этом соединении необычно велик. Действительно, ход намагниченности в зависимости от температуры в малых полях (рис. 4) можно объяснить наличием в этом соединении двух магнитных подрешеток, магнитные моменты которых направлены в противоположные стороны, причем обменное поле на одной подрешетке меньше, чем на другой. Естественно связать сильной подрешеткой ионы марганца и хрома, а слабой подрешеткой является подсистема ионов неодима. Поэтому внешнее поле должно переориентировать одну из подрешеток по направлению к другой. Очень малая ферромагнитная компонента от $3d$ -ионов скорее всего возникает вследствие взаимодействия Дзялов-Шинского–Мория, что характерно для магнитной

Таблица 2. Параметры кристаллической и магнитной структур, полученные уточнением по методу Ритвелда для $\text{Nd}_{0.6}\text{Ca}_{0.4}\text{Mn}_{0.5}\text{Cr}_{0.5}\text{O}_3$ (F — ферромагнитная компонента, A — антиферромагнитная компонента A -типа, G — антиферромагнитная компонента G -типа)

Кристаллическая структура		
Поле	0 Тл	5 Тл
Пространственная группа	$Pbnm$	$Pbnm$
Параметры элементарной ячейки		
a , Å	5.3669(9)	5.3623(1)
b , Å	5.3808(1)	5.3794(1)
c , Å	7.5909(1)	7.5753(1)
Координаты атомов		
Nd, Ca:		
x	0.0120(4)	-0.0035(3)
y	0.0337(2)	0.0380(1)
O(1):		
x	0.0746(5)	0.0737(3)
y	0.4821(2)	0.4877(1)
O(2):		
x	-0.2845(2)	-0.2881(2)
y	0.2918(2)	0.2830(2)
z	0.0382(2)	0.0370(1)
Длины связей		
Mn/Cr—O(1), Å	1.9419	1.9358
Mn/Cr—O(2), Å	1.9718	1.9201
Mn/Cr—O(2), Å	1.9155	1.9566
Углы связей		
Mn/Cr—O(1)—Mn/Cr	155.519°	156.101°
Mn/Cr—O(2)—Mn/Cr	155.653°	156.829°
Факторы достоверности		
R_p [%]/ R_{wp} [%]	4.54/6.51	4.96/6.65
χ^2	7.20	7.38
R_{Bragg} , %	3.22	2.20
Магнитная структура		
Поле	0 Тл	5 Тл
Nd:		
μ_z , μ_B	F : 1.147	F : 1.439
Mn/Cr:		
μ_x , μ_B	A : 0.488	A : 0.462
μ_y , μ_B	G : 2.054	G : 1.860
μ_z , μ_B	F : —	F : 1.070
Магнитный R -фактор	6.24	6.21

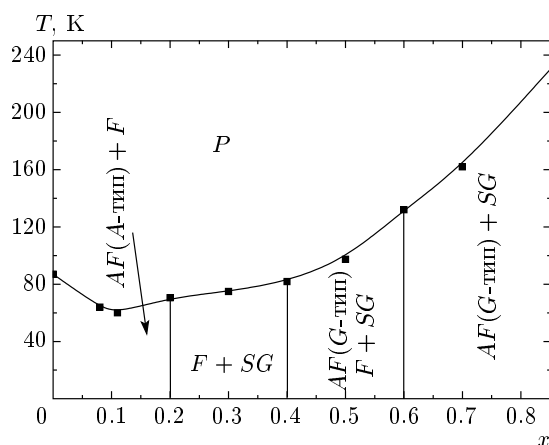


Рис. 8. Магнитная фазовая диаграмма системы $\text{NdMn}_{1-x}\text{Cr}_x\text{O}_3$ (P — парамагнитная фаза, AF (A -типа) — антиферромагнитная фаза A -типа, AF (G -типа) — антиферромагнитная фаза G -типа, F — ферромагнитная фаза, SG — спиновое стекло)

G -структуры в орторомбически искаженных первоэритритах. Эта компонента не выявляется в нейтронографическом эксперименте, так как она очень мала и направлена перпендикулярно вектору антиферромагнетизма. Антипараллельно этой компоненте вследствие f - d -обмена упорядочиваются магнитные моменты ионов неодима, магнитный момент которых значительно больше. При температуре меньше 100 К вклад от ионов неодима начинает преобладать над вкладом от $3d$ -ионов и намагниченность в слабых полях становится направленной противоположно внешнему полю. Это обусловлено тем, что анизотропия этого соединения достаточно высока, и в малых полях переориентации магнитных моментов не происходит. Однако приложение больших магнитных полей ведет к переориентации неодимовых моментов по направлению поля. Так как переориентация препятствует f - d -обмен, намагниченность не насыщается в больших полях.

Как мы уже отмечали, магнитные моменты $3d$ -ионов, вычисленные из нейтронографических измерений, значительно меньше ожидаемых значений в ионной модели, где магнитные моменты должны быть строго локализованы. Можно предположить, что существенная доля магнитных моментов $3d$ -ионов находится в состоянии спинового стекла и поэтому не дает вклада в когерентное магнитное рассеяние нейтронов. На основании полученных результатов нейтронографических исследований с учетом результатов работы [6] мы построили магнитную фазовую диаграмму твердых рас-

творов $\text{NdMn}_{1-x}\text{Cr}_x\text{O}_3$ (рис. 8). Эту фазовую диаграмму мы будем интерпретировать, исходя из связи между типом магнитного упорядочения и эффектом Яна–Теллера [13] с учетом результатов работы [19], в которой показано, что твердые растворы манганинов являются химически неоднородными объектами, в которых ионы замещаемого компонента не распределены статистически в масштабах 10–30 Å. Такая химическая неоднородность является внутренним свойством твердых растворов манганинов.

Вследствие наномасштабной неоднородности химического состава в манганинах наблюдается кристаллоструктурное и магнитное фазовое расслоение даже в составах, расположенных достаточно далеко от границы фазовых превращений. Было предпринято множество попыток приписать явление магнитного фазового расслоения процессам неоднородного распределения носителей заряда. Однако до сих пор веских аргументов в пользу электронного фазового расслоения при однородном распределении ионов по кристаллической решетке не обнаружено. Твердые растворы $\text{NdMn}_{1-x}\text{Cr}_x\text{O}_3$ являются диэлектриками во всем концентрационном интервале содержания хрома, поэтому электронное фазовое расслоение не может являться причиной магнитной неоднородности. Соединение NdMnO_3 является орбитально-упорядоченным антиферромагнетиком A -типа с точкой Нееля $T = 85$ К [18]. При замещении ионов марганца ионами Fe^{3+} , Cr^{3+} , Zn^{2+} , Ga^{3+} появляется ярко выраженная ферромагнитная компонента, которая достигает максимума в концентрационном интервале 10–20 %. Этот процесс аналогичен замещению ионов Mn^{3+} на Mn^{4+} в твердых растворах $\text{Nd}_{1-x}\text{Ca}_x\text{MnO}_3$, при котором также возникает ферромагнетизм без изменения основного диэлектрического состояния [18]. Твердые растворы $\text{Nd}_{1-x}\text{Ca}_x\text{MnO}_3$ являются орбитально-упорядоченными вплоть до концентрации ионов Mn^{4+} , равной 25 %, где орбитально-упорядоченная фаза начинает вытесняться зарядово-упорядоченной. Согласно нашим нейтронографическим исследованиям, твердые растворы $\text{NdMn}_{1-x}\text{Cr}_x\text{O}_3$ являются орбитально-упорядоченными вплоть до концентрации ионов хрома $x = 0.5$. Это означает, что ферромагнитная компонента и кооперативный орбитальный порядок совместимы. Поэтому понять природу ферромагнетизма в манганинах можно только при учете динамической природы эффекта Яна–Теллера. В орбитально-упорядоченных LnMnO_3 ($\text{Ln} = \text{La–Dy}$) обменные взаимодействия Mn^{3+} – O – Mn^{3+} анизотропны [13].

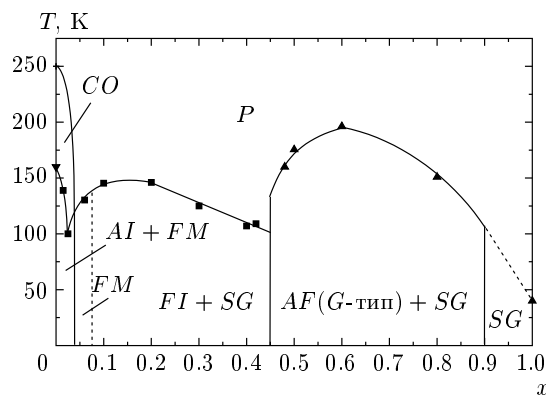


Рис. 9. Магнитная фазовая диаграмма системы $\text{Nd}_{0.6}\text{Ca}_{0.4}\text{Mn}_{1-x}\text{Cr}_x\text{O}_3$ (P — парамагнитная фаза, CO — зарядовоупорядоченная фаза, AI — антиферромагнитный диэлектрик, FI — ферромагнитный диэлектрик, AF (G -типа) — антиферромагнитная фаза G -типа, SG — спиновое стекло)

В плоскостях, в которых антиферродисторсионно упорядочиваются заполненные d_{z^2} -орбитали, это взаимодействие ферромагнитно, а между плоскостями оно антиферромагнитно, как и предсказывают правила Гуденафа—Канамори. При замещении ионов Mn^{3+} на не ян-теллеровские ионы Mn^{4+} или Cr^{3+} , Ga^{3+} и т. д. статические искажения в ближайших октаэдрах могут не сниматься, однако частота переходов типа d_{z^2} в d_{x^2} или d_{y^2} резко возрастает, что приводит к изотропному ферромагнитному обменному взаимодействию вблизи этих ионов. При увеличении концентрации не ян-теллеровских ионов наступает переколяционный переход, приводящий к появлению дальнего ферромагнитного порядка на фоне сохранения кооперативного орбитального упорядочения. При значительных концентрациях ионов хрома ионы марганца и хрома начинают объединяться в кластеры с избытком одной из компонент. Кластеры, обогащенные ионами хрома, переколирируют, и на их основе возникает дальний антиферромагнитный порядок G -типа, присущий хромиту NdCrO_3 . В областях, обогащенных ионами марганца, сохраняется орбитальное упорядочение и дальний ферромагнитный порядок. Скорее всего, подобного рода фазовое расслоение имеет двумерный характер распределения в пространстве [20, 21].

Магнитные свойства твердых растворов $\text{Nd}_{0.6}\text{Ca}_{0.4}\text{Mn}_{1-x}\text{Cr}_x\text{O}_3$ существенно различаются. На рис. 9 представлена магнитная фазовая диаграмма этих растворов с учетом результатов

нейтронографического исследования для состава $\text{Nd}_{0.6}\text{Ca}_{0.4}\text{Mn}_{0.5}\text{Cr}_{0.5}\text{O}_3$, представленных ранее в данной статье, и измерений намагниченности [7]. Соединение $\text{Nd}_{0.6}\text{Ca}_{0.4}\text{MnO}_3$ является антиферромагнитным зарядово-упорядоченным диэлектриком СЕ-типа с точкой Нееля $T = 230$ К [7]. Замещение марганца (Mn^{3+}) на ионы Cr^{3+} приводит к появлению ферромагнитного металлического состояния, реализующегося в довольно узком концентрационном интервале. Магнитные моменты ионов Cr^{3+} направлены противоположно магнитным моментам ионов марганца [8]. Переход протекает через двухфазное состояние, включающее зарядово-упорядоченные и металлические кластеры. Мы полагаем, что природа магнитного фазового расслоения такая же, как и в диэлектрических твердых растворах $\text{NdMn}_{1-x}\text{Cr}_x\text{O}_3$ — это внутренняя химическая неоднородность твердых растворов. С увеличением содержания ионов хрома ($x > 0.1$) наблюдается обратный переход в диэлектрическое состояние. Это свидетельствует о том, что ионы Cr^{3+} не участвуют в образовании металлического состояния, а наоборот, препятствуют ему. Металлическое состояние обусловлено снятием зарядового упорядочения, вследствие того что ионы Cr^{3+} , скорее всего, статистически распределены по $3d$ -подрешетке и отрицательно обменно взаимодействуют с ионами марганца, приводя к ферримагнитному порядку в расположении магнитных моментов в ближайшем окружении. С увеличением концентрации ионов хрома они начинают конгломерироваться в кластеры, внутри которых обменные взаимодействия отрицательны, что приводит к резкому возрастанию относительного количества фruстрированных связей по границе кластеров.

Процесс возрастания количества ионов хрома сопровождается переходом ионов Mn^{3+} в Mn^{4+} вследствие сохранения электронейтральности. Обменные взаимодействия между ионами Mn^{4+} также антиферромагнитны, что благоприятствует образованию структуры G -типа. Вблизи $x = 0.5$ образуется бесконечный магнитный кластер с дальним антиферромагнитным порядком G -типа. При этом магнитные свойства меняются скачкообразно. Температура антиферромагнитного упорядочения достигает 220 К, возрастаая более чем в три раза. При $x \approx 0.4$ вклад ионов неодима в поведение температурной зависимости намагниченности был практически незаметен [7], что, возможно, связано с флюктуациями обменных полей на этих ионах. При $x \geq 0.5$ неодимовая подрешетка ферромагнитно

упорядочивается противоположно вектору слабого ферромагнетизма Mn/Cr-подрешетки. Магнитное состояние ионов неодима в $\text{Nd}_{0.6}\text{Ca}_{0.4}\text{Mn}_{0.5}\text{Cr}_{0.5}\text{O}_3$ коренным образом отличается от магнитного состояния в $\text{NdMn}_{0.5}\text{Cr}_{0.5}\text{O}_3$, несмотря на наличие в этом соединении ярко выраженной G -компоненты. Скорее всего, это обусловлено тем, что магнитное двухфазное состояние нельзя рассматривать как простую суперпозицию фаз. Обе магнитные фазы, скорее всего, имеют преимущественно двумерный характер реализации в пространстве, что приводит к существенному изменению параметров обменного поля на ионе неодима. Действительно, в составе $\text{NdMn}_{0.2}\text{Cr}_{0.8}\text{O}_3$ обнаружена сильная отрицательная магнитная связь между $3d$ -подрешеткой и подрешеткой ионов неодима, как и в случае Ca-содержащих твердых растворов для состава $x = 0.5$.

Работа выполнена при поддержке Белорусского республиканского фонда фундаментальных исследований (проект № Ф06МС-021), ГКПНИ «Наноматериалы и нанотехнологии» (задание № 3.03) и European Research Area, Research Infrastructures, контракт № RII3-CT-2003-505925 (NMI3).

ЛИТЕРАТУРА

1. K. H. Ahn, X. W. Wu, K. Liu, and C. L. Chien, Phys. Rev. B **54**, 15299 (1996).
2. Y. Sun, X. Xu, and Y. Zhang, Phys. Rev. B **63**, 054404 (2001).
3. Y. Sun, X. Xu, L. Zheng, and Y. Zhang, Phys. Rev. B **63**, 12317 (1999).
4. N. Gayathri, A. K. Raychaudhuri, S. K. Tiwary, R. Gundakaram, A. Arulraj, and C. N. Rao, Phys. Rev. B **56**, 1345 (1997).
5. J. Blasco, J. Garcia, J. M. de Teresa, M. R. Ibarra, J. Perez, P. A. Algarabel, C. Marquina, and C. Ritter, Phys. Rev. B **55**, 8905 (1997).
6. И. О. Троянчук, М. В. Бушинский, Н. В. Пушкирев, Н. Ю. Беспалая, ФТТ **46**, 1816 (2004).
7. И. О. Троянчук, М. В. Бушинский, В. В. Еременко, В. А. Сиренко, Г. Шимчак, ФНТ **28**, 61 (2002).
8. O. Toulemonde, F. Studera, A. Barnabe, A. Maignan, C. Martin, and B. Raveau, Eur. Phys. J. B **4**, 159 (1998).
9. J. Deisenhofer, M. Paraskevopoulos, H.-A. K. von Nidda, and A. Loidl, E-print archives, cond-mat/0207708.
10. M. B. Phillips, N. M. Sammes, and O. Yamamoto, J. Mater. Sci. **31**, 1689 (1996).
11. Zh. Yang, L. Ye, and X. Xie, J. Phys.: Condens. Matter **12**, 2737 (2000).
12. Y. Sun, W. Tong, X. Xu, and Yu. Zhang, Phys. Rev. B **63**, 174438 (2001).
13. J. B. Goodenough, A. Wold, R. J. Arnott, and N. Menyuk, Phys. Rev. **124**, 373 (1961).
14. L. Pi, S. Hebert, C. Yaicle, C. Martin, A. Maignan, and B. Raveau, J. Phys.: Condens. Matt. **15**, 2701 (2003).
15. I. O. Troyanchuk, D. A. Efimov, H. Szymczak, R. Szymczak, and B. Krzymanska, J. Magn. Magn. Mater. **202**, 95 (1999).
16. F. Damay, A. Maignan, C. Martin, and B. Raveau, J. Appl. Phys. **82**, 1485 (1997).
17. И. О. Троянчук, Н. В. Пушкирев, М. В. Бушинский, Е. Гамари-Силе, ФТТ **48**, 1244 (2006).
18. V. A. Khomchenko, I. O. Troyanchuk, A. I. Kurbakov, H. Gamari-Seale, V. V. Eremenko, H. Szymczak, and R. Szymczak, J. Magn. Magn. Mater. **288**, 224 (2005).
19. T. Shibata, B. Bunker, J. F. Mitchell, and P. Schiffer, Phys. Rev. Lett. **88**, 207205 (2002).
20. Ch. Simon, S. Mercone, N. Guiblin, C. Martin, A. Brulet, and G. Andre, Phys. Rev. Lett. **89**, 207202 (2002).
21. S. Mercone, V. Hardy, C. Martin, Ch. Simon, D. Saurel, and A. Brulet, Phys. Rev. B **68**, 094422 (2003).